



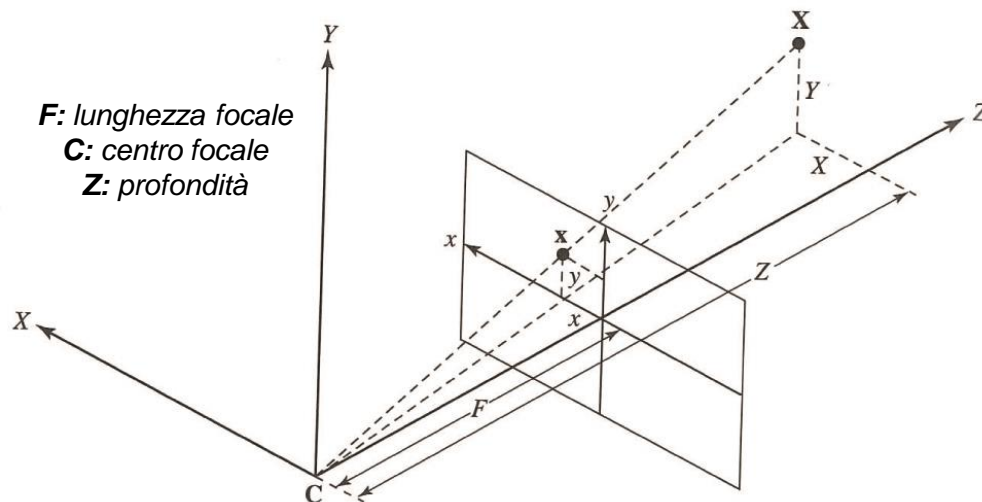
Video – Parte 3

Spazi di riferimento 3D-2D e Proiezioni
Vettori di movimento e Modelli di
movimento
Stima del movimento



Telecamera Prospettica

- Assumiamo che
 - L'origine del sistema di coordinate 3D (globale) sia localizzata in **C**
 - Il piano **XY** sia parallelo al piano **xy** (nel sistema di coordinate dell'immagine)
 - Il sistema di riferimento globale e quello dell'immagine usino la stessa unità di misura
- Prospettiva → la dimensione di un oggetto sull'immagine è inversamente proporzionale alla sua distanza



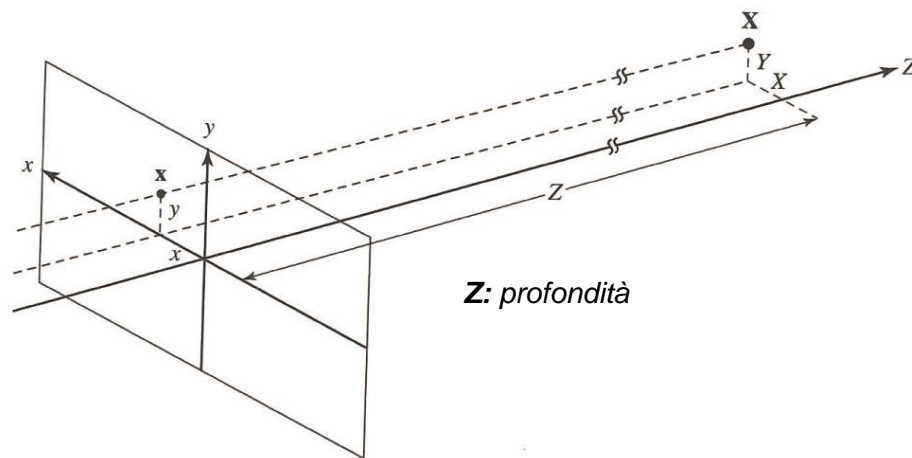
Proiezioni prospettiche:

$$\frac{x}{F} = \frac{X}{Z} \quad \frac{y}{F} = \frac{Y}{Z}$$
$$x = F \frac{X}{Z} \quad y = F \frac{Y}{Z}$$



Telecamera Ortografica

- Assumiamo che
 - Gli oggetti da rappresentare nell'immagine siano a distanza (Z) molto grande
- Ortografia \rightarrow la dimensione di un oggetto sull'immagine è indipendente dalla sua distanza



Proiezioni ortografiche:

$$x = X \quad y = Y$$



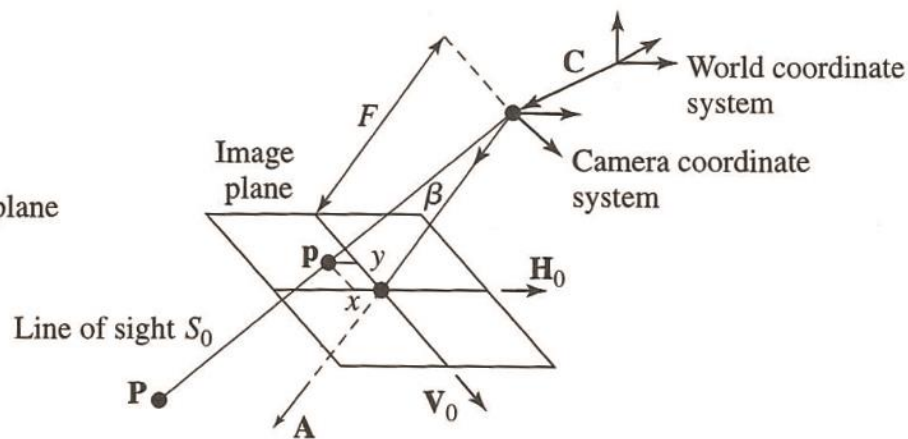
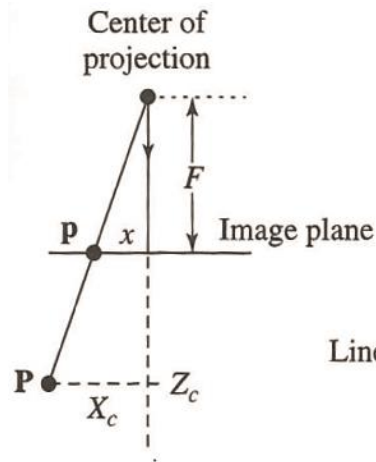
Note sulle proiezioni

- **Invertibilità:** Sia le proiezioni prospettiche che quelle ortografiche stabiliscono una relazione **molti-a-uno**
 - Per invertire il processo e ricostruire una scena 3D partendo da un'immagine 2D ho bisogno di informazioni aggiuntive (z-mapping, stereoscopia, ...)
- **Occlusione:** nell'immagine compaiono solo gli oggetti che vengono intercettati per primi dalle **linee di visione** che partono dal centro focale **C**



Modello CAHV

- **C**: Centro focale
- **A**: versore Z
- **H₀**: versore X
- **V₀**: versore Y
- Permette una visualizzazione più comoda del sistema di riferimento della videocamera se questa si muove
- Permette di descrivere un piano dell'immagine non allineato al sistema di riferimento della videocamera (**distorsione del sistema ottico**)

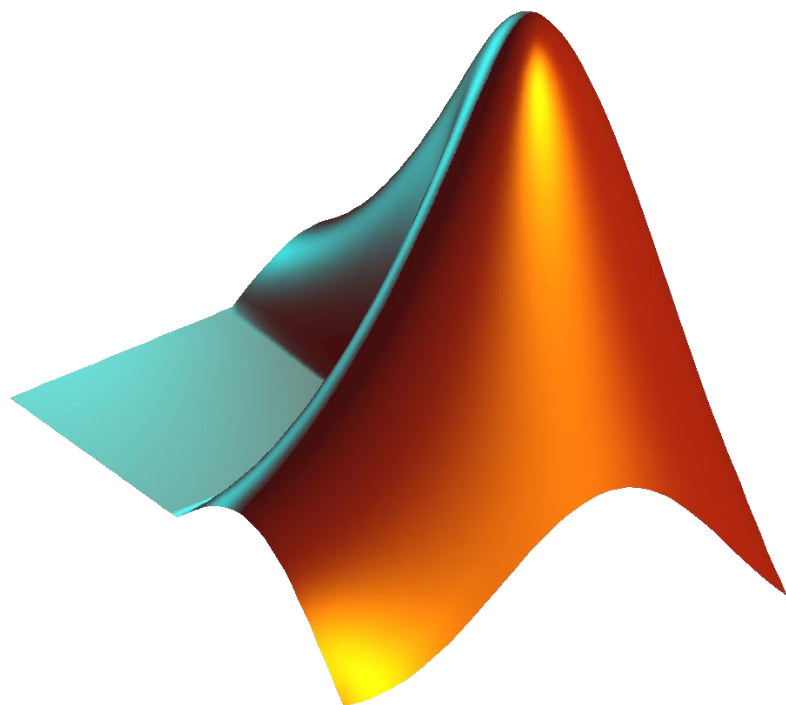


Dalle formule sulle proiezioni prospettiche:

$$p = \begin{pmatrix} x \\ y \end{pmatrix} = \frac{F}{A^T \cdot (P - C)} \cdot \begin{pmatrix} H_0^T \cdot (P - C) \\ V_0^T \cdot (P - C) \end{pmatrix}$$



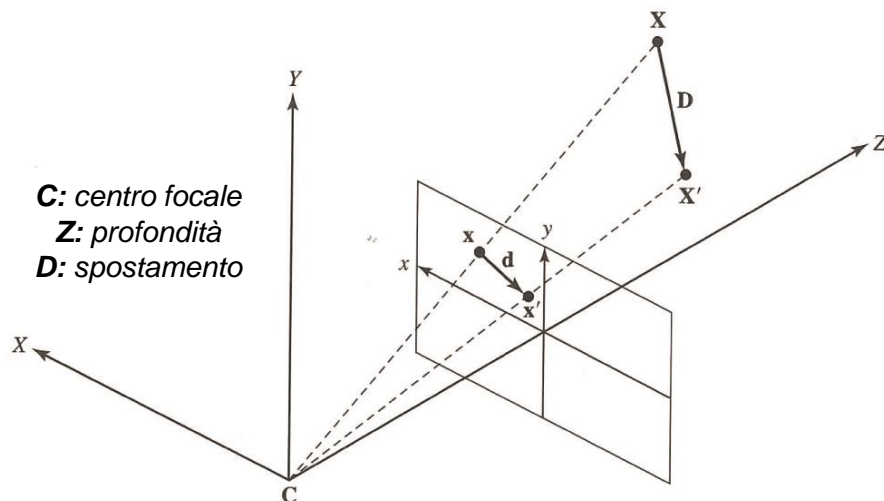
Proiezioni 3D \rightarrow 2D



- ProjectionScript.m
 - projectionImage.m
 - projectionOrthoImage.m
 - **projection.m**
- Esempio:
 - Due triangoli nello spazio 3D proiettati in quello 2D, con camera prospettica e ortografica



Spostamenti in 3D e in 2D



■ Siano:

□ Posizione iniziale a t_1 :

- $\mathbf{X} = [X, Y, Z]^T$
- $\mathbf{x} = [x, y]^T$

□ Posizione finale a t_2 :

- $\mathbf{X}' = [X', Y', Z']^T = [X + D_X, Y + D_Y, Z + D_Z]^T$
- $\mathbf{x}' = [x', y']^T = [x + d_x, y + d_y]^T$

■ Spostamento 3D:

$$\begin{aligned} \square \mathbf{D}(\mathbf{X}; t_1, t_2) &= \mathbf{X}' - \mathbf{X} = \\ &= [D_X, D_Y, D_Z]^T \end{aligned}$$

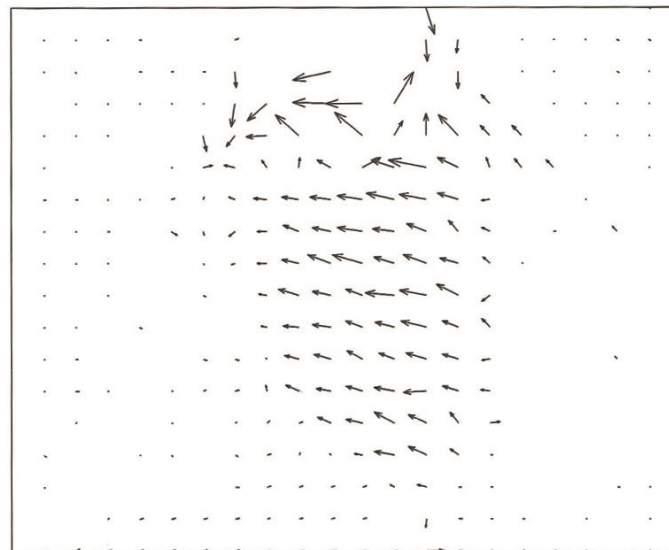
■ Spostamento 2D:

$$\begin{aligned} \square \mathbf{d}(\mathbf{x}; t_1, t_2) &= \mathbf{x}' - \mathbf{x} = \\ &= [d_x, d_y]^T \end{aligned}$$



Modelli di Movimento 2D

- Se t_1 e t_2 sono chiari si possono omettere e si può scrivere $d(x)$
- $d(x) = x' - x$ è detto “*displacement*”, “Vettore di movimento 2D” o “*motion vector*” (MV)
- L'insieme dei $d(x)$ per ogni x nell'immagine è detto “Campo di movimento” (*motion field*)

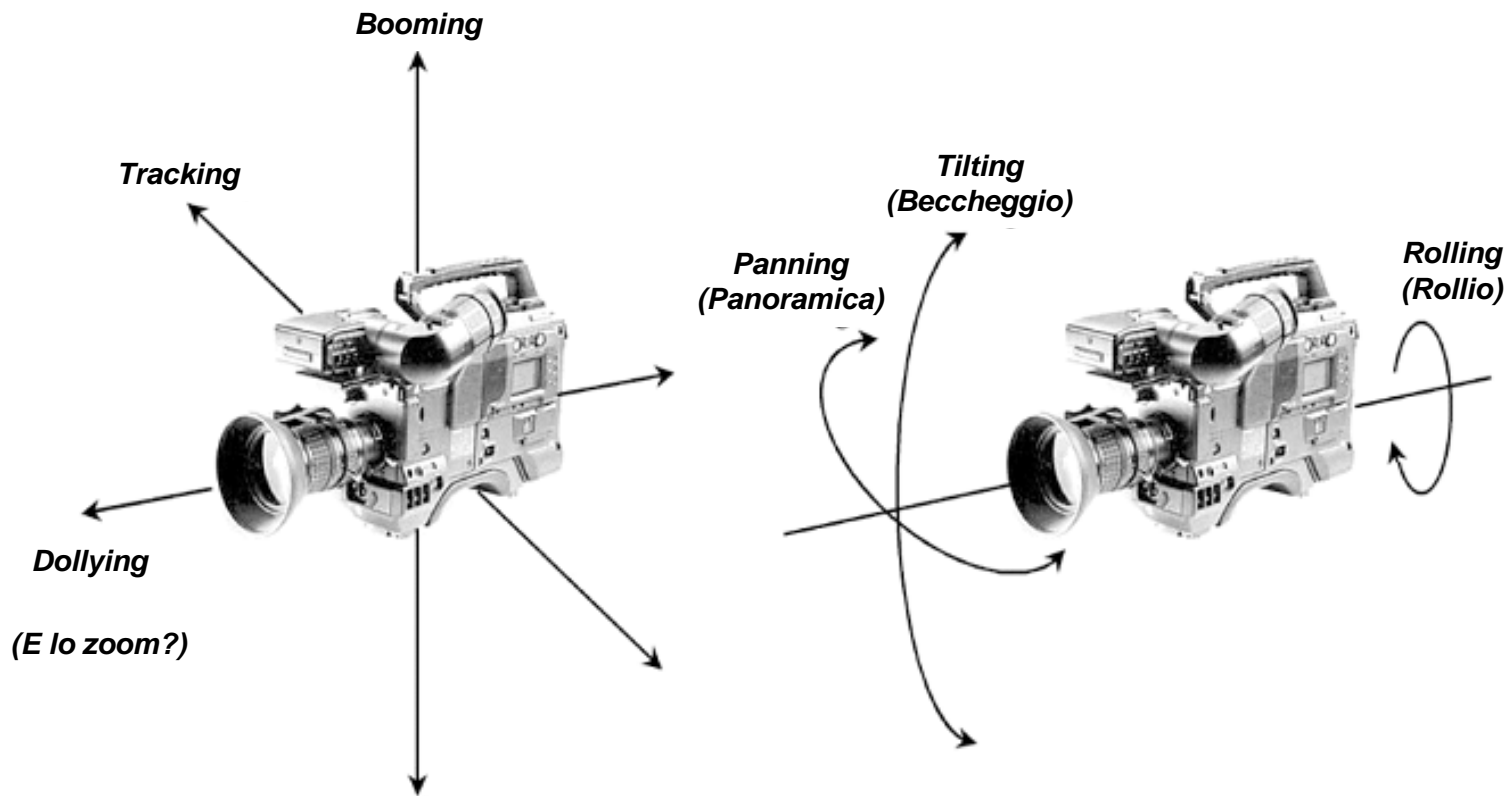


Esempio di motion field

- **Funzione di mapping:**
 $w(x) = x + d(x)$
 - Ogni pixel contiene un valore diverso da quello iniziale; si noti che, in generale, $d(x)$ potrebbe non essere noto



Movimenti della Telecamera



Traslazioni e Rotazioni tipiche della telecamera



Modelli di Movimento della Telecamera – Track (Tx) e Boom (Ty)

**Cambiamenti di coordinate
nel sistema 3D:**

$$\begin{bmatrix} X' \\ Y' \\ Z' \end{bmatrix} = \begin{bmatrix} X \\ Y \\ Z \end{bmatrix} + \begin{bmatrix} T_x \\ T_y \\ 0 \end{bmatrix}$$

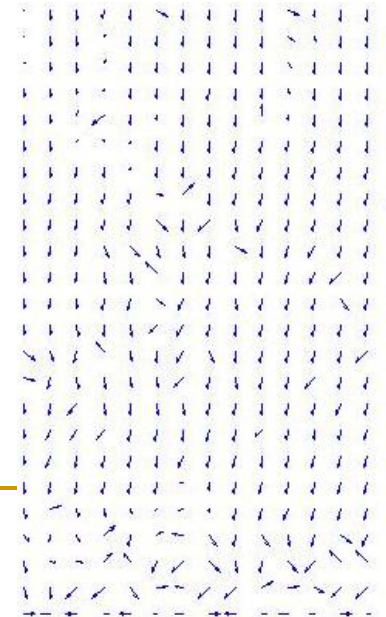
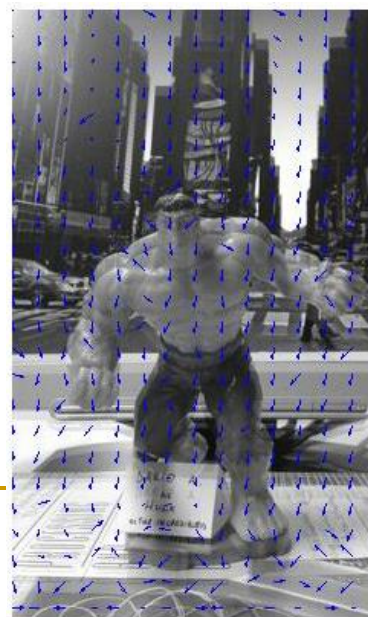
**Approssimazione
(ortografica)**

del motion field:

$$\begin{bmatrix} d_x(x, y) \\ d_y(x, y) \end{bmatrix} = \begin{bmatrix} t_x \\ t_y \end{bmatrix}$$

**Cambiamenti di coordinate
nel sistema 2D:**

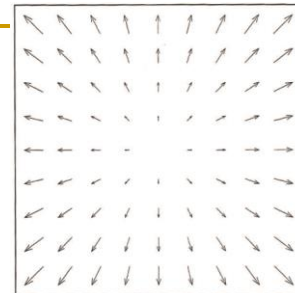
$$\begin{bmatrix} x' \\ y' \end{bmatrix} = \begin{bmatrix} x \\ y \end{bmatrix} + \begin{bmatrix} FT_x/Z \\ FT_y/Z \end{bmatrix}$$



Un esempio di Motion Field in cui è presente Boom:



Modelli di Movimento della Telecamera – Zoom (ρ)

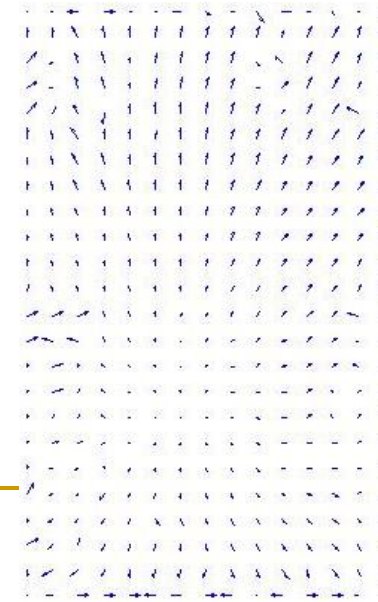


**Cambiamenti di coordinate
nel sistema 2D:**

$$\begin{bmatrix} x' \\ y' \end{bmatrix} = \begin{bmatrix} \rho x \\ \rho y \end{bmatrix}, \quad \rho = \frac{F'}{F}$$

**Approssimazione
del motion field:**

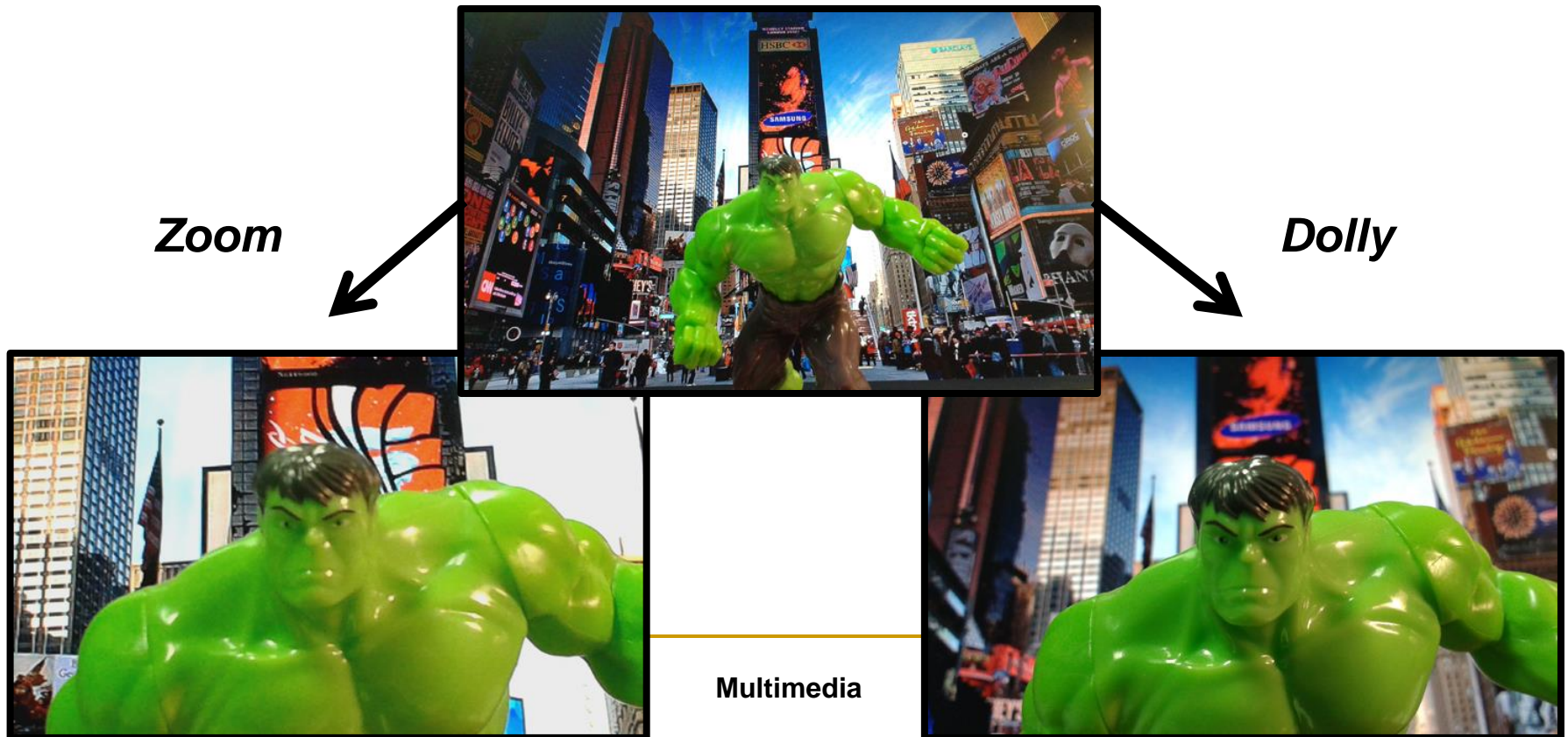
$$\begin{bmatrix} d_x(x, y) \\ d_y(x, y) \end{bmatrix} = \begin{bmatrix} (\rho - 1)x \\ (\rho - 1)y \end{bmatrix}$$





Zoom (ρ) = Dolly (Tz)???

- NO!
- Nello zoom si conservano le relazioni spaziali





Modelli di Movimento della Telecamera – Tilt (Rx) e Pan (Ry)

**Cambiamenti di coordinate
nel sistema 3D:**

$$\begin{bmatrix} X' \\ Y' \\ Z' \end{bmatrix} = \begin{bmatrix} 1 & 0 & \theta_y \\ 0 & 1 & -\theta_x \\ -\theta_y & \theta_x & 1 \end{bmatrix} \begin{bmatrix} X \\ Y \\ Z \end{bmatrix}$$

**Approssimazione
del motion field:**

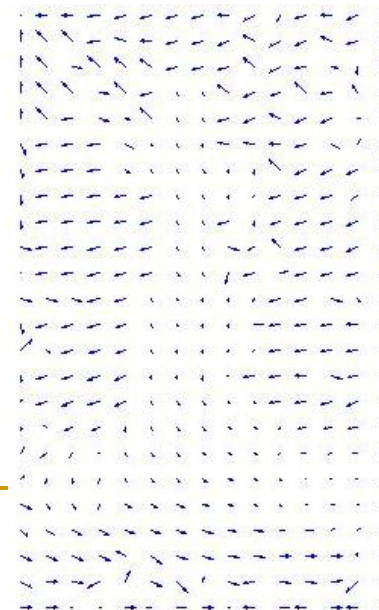
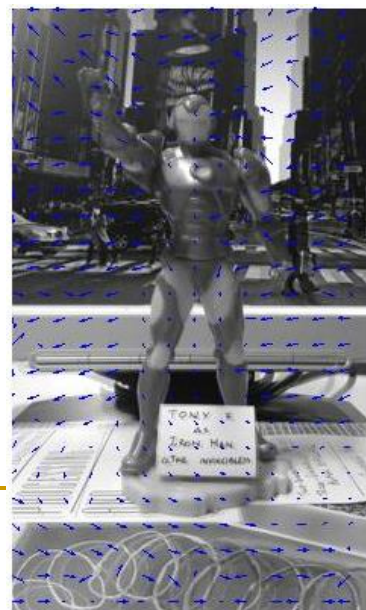
$$\begin{bmatrix} d_x(x, y) \\ d_y(x, y) \end{bmatrix} = \begin{bmatrix} \theta_y F \\ -\theta_x F \end{bmatrix}$$

**Cambiamenti di coordinate
nel sistema 2D:**

$$\begin{bmatrix} x' \\ y' \end{bmatrix} = \begin{bmatrix} x \\ y \end{bmatrix} + \begin{bmatrix} \theta_y F \\ -\theta_x F \end{bmatrix}$$

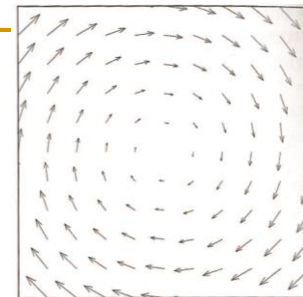


Un esempio di Motion
Field in cui è presente
Pan:





Modelli di Movimento della Telecamera – Roll (Rz)

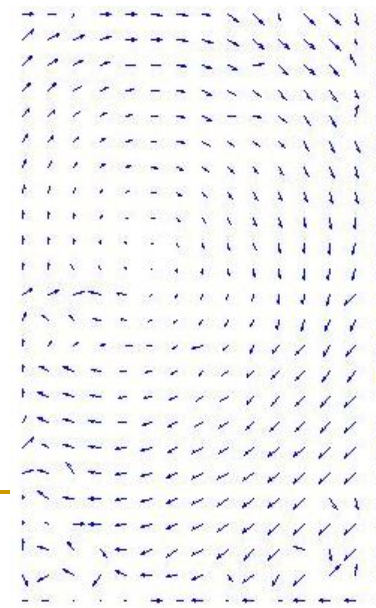
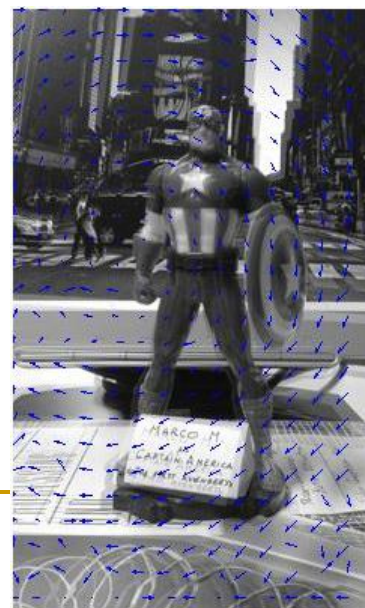


**Cambiamenti di coordinate
nel sistema 2D:**

$$\begin{bmatrix} x' \\ y' \end{bmatrix} = \begin{bmatrix} \cos \theta_z & -\sin \theta_z \\ \sin \theta_z & \cos \theta_z \end{bmatrix} \begin{bmatrix} x \\ y \end{bmatrix}$$
$$\approx \begin{bmatrix} 1 & -\theta_z \\ \theta_z & 1 \end{bmatrix} \begin{bmatrix} x \\ y \end{bmatrix}, \text{ se } \theta_z \approx 0$$

**Approssimazione
del motion field:**

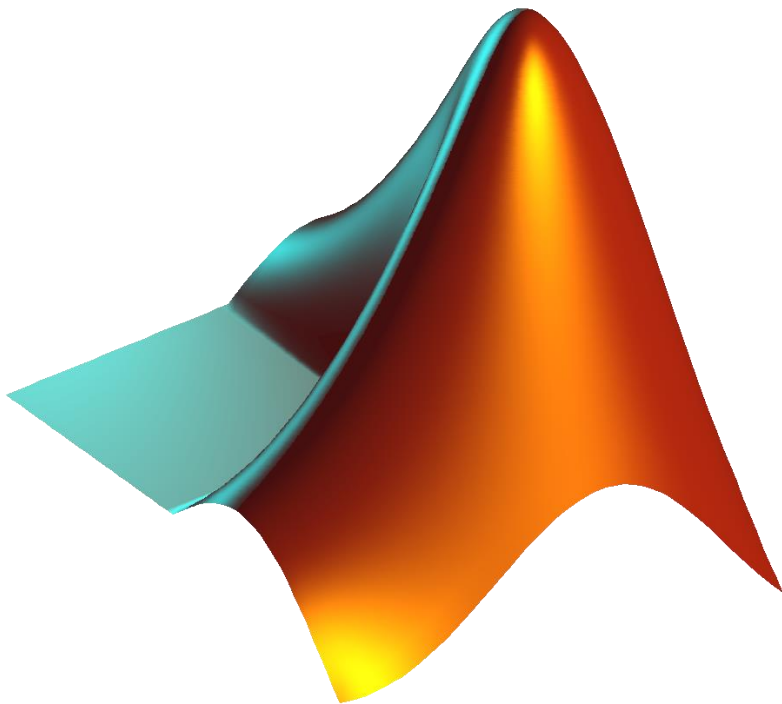
$$\begin{bmatrix} d_x(x, y) \\ d_y(x, y) \end{bmatrix} = \begin{bmatrix} -\theta_z y \\ \theta_z x \end{bmatrix}$$





Modelli di Movimento della Telecamera

- MotionFieldScript.m
 - trackBoom.m
 - myZoom.m
 - myRotate.m
 - **myMotionField.m**





Modelli di Movimento della Telecamera – Modello a 4-parametri

- Consideriamo il caso in cui una telecamera effettua in sequenza: traslazione, pan, tilt, zoom e rotazione
- Usando le approssimazioni viste in precedenza è possibile mappare una **funzione a 4-parametri** che riassume tutte le trasformazioni
- Se l'ordine dovesse cambiare, la formula rimarrebbe valida, ma cambierebbero le relazioni fra i 4-parametri e i parametri delle singole trasformazioni



Modelli di Movimento della Telecamera

Modello a 4-parametri

$$\begin{aligned} \begin{bmatrix} x' \\ y' \end{bmatrix} &= \rho \begin{bmatrix} \cos \theta_z & -\sin \theta_z \\ \sin \theta_z & \cos \theta_z \end{bmatrix} \begin{bmatrix} x + \theta_y F + t_x \\ y - \theta_x F + t_y \end{bmatrix} = \\ &= \begin{bmatrix} c_1 & -c_2 \\ c_2 & c_1 \end{bmatrix} \begin{bmatrix} x \\ y \end{bmatrix} + \begin{bmatrix} c_3 \\ c_4 \end{bmatrix} \end{aligned}$$

- Questa formula è un caso particolare di **trasformazione affine** (*affine mapping*), normalmente a 6-parametri
- Prende il nome di **trasformazione geometrica** (*geometric mapping*), e caratterizza qualsiasi combinazione di scaling, rotazione e traslazione in 2D



Modelli di Movimento della Telecamera

Modello a 6-parametri (1)

- La rotazione di un oggetto attorno all'origine dello spazio 3D è data dalla matrice di rotazione

$$[R] = [R_x] \cdot [R_y] \cdot [R_z]$$

$$[R_x] = \begin{bmatrix} 1 & 0 & 0 \\ 0 & \cos \theta_x & -\sin \theta_x \\ 0 & \sin \theta_x & \cos \theta_x \end{bmatrix}$$

$$[R_y] = \begin{bmatrix} \cos \theta_y & 0 & \sin \theta_y \\ 0 & 1 & 0 \\ -\sin \theta_y & 0 & \cos \theta_y \end{bmatrix}$$

$$[R_z] = \begin{bmatrix} \cos \theta_z & -\sin \theta_z & 0 \\ \sin \theta_z & \cos \theta_z & 0 \\ 0 & 0 & 1 \end{bmatrix}$$



Modelli di Movimento della Telecamera

Modello a 6-parametri (2)

- Pertanto, combinando insieme R_x, R_y, R_z si ottiene:

$$[R] = \begin{bmatrix} \cos \theta_y \cos \theta_z & \sin \theta_x \sin \theta_y \cos \theta_z - \cos \theta_x \sin \theta_z & \cos \theta_x \sin \theta_y \cos \theta_z + \sin \theta_x \sin \theta_z \\ \cos \theta_y \sin \theta_z & \sin \theta_x \sin \theta_y \sin \theta_z + \cos \theta_x \cos \theta_z & \cos \theta_x \sin \theta_y \sin \theta_z - \sin \theta_x \cos \theta_z \\ -\sin \theta_y & \sin \theta_x \cos \theta_y & \cos \theta_x \cos \theta_y \end{bmatrix}$$

- Assumendo piccole rotazioni si può porre:

$$[R] \approx [R'] = \begin{bmatrix} 1 & -\theta_z & \theta_y \\ \theta_z & 1 & -\theta_x \\ -\theta_y & \theta_x & 1 \end{bmatrix}$$



Modelli di Movimento della Telecamera

Modello a 6-parametri (3)

- Il moto di un punto può essere descritto come:

$$X' = [R] \cdot X + [T]$$
$$\begin{bmatrix} X' \\ Y' \\ Z' \end{bmatrix} = \begin{bmatrix} r_1 & r_2 & r_3 \\ r_4 & r_5 & r_6 \\ r_7 & r_8 & r_9 \end{bmatrix} \cdot \begin{bmatrix} X \\ Y \\ Z \end{bmatrix} + \begin{bmatrix} T_x \\ T_y \\ T_z \end{bmatrix}$$

- Per quanto visto, sebbene la matrice di rotazione R ha 9 elementi, essa è determinata soltanto da **3** angoli di rotazione



Modelli di Movimento della Telecamera

Modello a 6-parametri (4)

- Infine, utilizzando le equazioni delle proiezioni prospettiche, si ottiene:

$$x' = F \frac{(r_1x + r_2y + r_3F)Z + T_xF}{(r_7x + r_8y + r_9F)Z + T_zF}$$

$$y' = F \frac{(r_4x + r_5y + r_6F)Z + T_yF}{(r_7x + r_8y + r_9F)Z + T_zF}$$



Modelli di Movimento della Telecamera

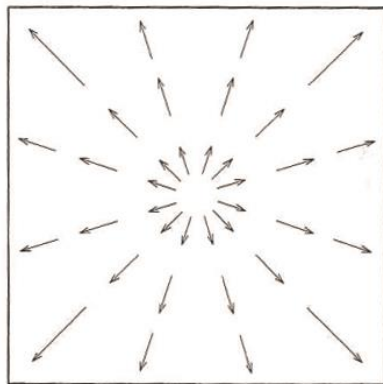
Modello a 6-parametri (5)

- Le relazioni che abbiamo ottenuto sono note come il **caso generale** del mapping di traslazioni e rotazioni arbitrarie da spazio 3D a spazio 2D
- Rispetto al *geometric mapping* (4-parametri) in questo **modello a 6-parametri** è possibile considerare anche **traslazioni lungo l'asse Z** e **rotazioni attorno ad assi arbitrari**



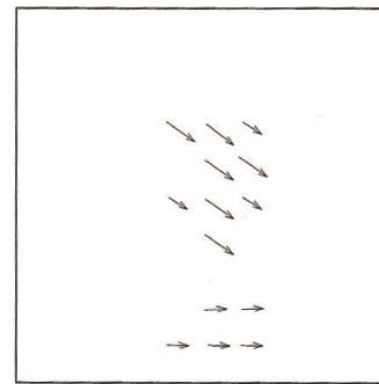
Rappresentazione del Movimento

- Come parametrizzare i *motion field*?
- **Rappresentazione globale**
 - Non funziona bene se nella scena sono presenti più oggetti che si muovono in maniera differente
- **Rappresentazione basata su pixel**
 - Richiede la stima di troppi vettori di movimento



Rappresentazione globale

Multimedia

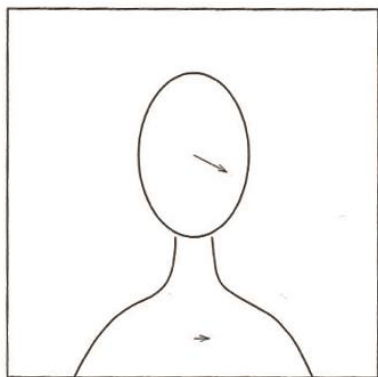


Rappresentazione su pixel



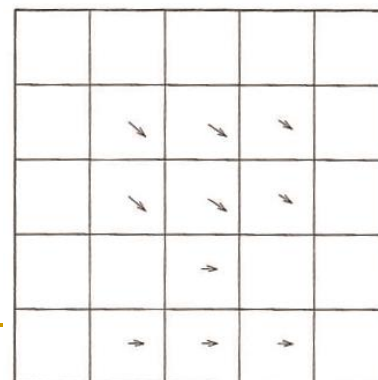
Rappresentazione del Movimento

- **Rappresentazione basata su regioni**
 - Segmentare le regioni e stimarne il movimento è computazionalmente oneroso
- **Rappresentazione basata su blocchi**
 - Buon compromesso fra accuratezze e complessità
 - Problemi di discontinuità lungo i bordi dei blocchi



Rappresentazione su regioni

Multimedia



Rappresentazione su blocchi



Criterio di Stima del Movimento

Displaced Frame Difference (DFD)

- Quale criterio usare per **stimare i parametri** del modello di movimento?
 - Ne esistono vari, ci concentreremo sul **criterio basato sulla differenza fra frame discostati** (*displaced frame difference* – **DFD**)
 - Siano:
 - “Anchor frame I_1 a t_1 ” il frame iniziale
 - “Target frame I_2 a t_2 ” il frame su cui stimare il relativo movimento:
 - $t_1 > t_2$: *backward motion estimation*
 - $t_1 < t_2$: *forward motion estimation*



Criterio di Stima del Movimento

Displaced Frame Difference (DFD)

- Siano inoltre:
 - Funzione di mapping: $w(x; a) = x + d(x; a)$
 - dove $a = [a_1, a_2, \dots, a_L]^T$ parametri di movimento (da stimare)

■ Definiamo **Errore DFD**:

- $E_{DFD}(a) = \sum_{x \in \Lambda} |I_2(w(x; a)) - I_1(x)|^p$
 - Dove:
 - Λ : insieme dei pixel nell'anchor frame I_1
 - p : intero positivo; casi particolari:
 - $p = 1 \rightarrow E_{DFD}$ è detto **mean absolute difference (MAD)**
 - $p = 2 \rightarrow E_{DFD}$ è detto **mean squared error (MSE)**



Criterio di Stima del Movimento Displaced Frame Difference (DFD)

- Affinché la stima dei parametri a sia la migliore, si dovrà **minimizzare** E_{DFD}
 - Essendo a un vettore, dovremo in generale imporre che il gradiente di E_{DFD} valga 0
 - Ad esempio, per $p = 2$ il gradiente sarà:
 - $$\frac{\delta E_{DFD}}{\delta a} = 2 \sum_{x \in \Lambda} (I_2(w(x; a)) - I_1(x)) \frac{\delta d(x)}{\delta a} \nabla I_2(w(x; a))$$

- dove
$$\frac{\delta d}{\delta a} = \begin{bmatrix} \frac{\delta d_x}{\delta a_1} & \frac{\delta d_x}{\delta a_2} & \dots & \frac{\delta d_x}{\delta a_L} \\ \frac{\delta d_y}{\delta a_1} & \frac{\delta d_y}{\delta a_2} & \dots & \frac{\delta d_y}{\delta a_L} \end{bmatrix}^T$$



Stima del Movimento

Algoritmi di Block-Matching (**BMA**)

- Consideriamo la rappresentazione del movimento basata su blocchi
 - I blocchi possono avere qualsiasi forma geometrica (solitamente quadrata), purché:
 - $\bigcup_{m \in M} B_m = \Lambda$, e $B_m \cap B_n = \emptyset, m \neq n$
 - Assumiamo che tutti i pixel di un blocco B_m si muovano nella stessa direzione (*modello traslazionale blockwise*): un MV per blocco
- Dato l'anchor frame B_m vogliamo trovare il target frame B_m' che minimizza l'errore E_{DFD}



Stima del Movimento

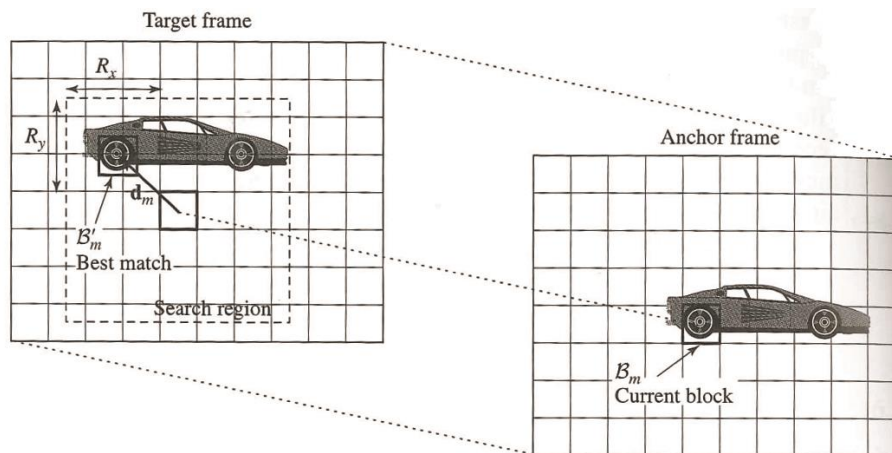
Algoritmo di Block-Matching Esaustivo

- Vogliamo minimizzare

- $E_m(d_m) = \sum_{x \in B_m} |I_2(x + d_m) - I_1(x)|^p$

- BMA Esaustivo (**EBMA**):

- Per trovare il migliore d_m confrontiamo (dopo averli calcolati) tutti i d_m fra l'anchor frame B_m e tutti i possibili target frame B_m' all'interno di una regione di ricerca





Algoritmo di Block-Matching Esaustivo

Complessità computazionale (1)

- Per ridurre il carico si può usare il *MAD error*
- Solitamente si usa un passo di ricerca pari a 1 pixel (*integer-pel accuracy search*)
- Sia $N \times N$ la dimensione del blocco e il raggio della regione di ricerca pari a $\pm R$, allora:
 - Dovendo fare una sottrazione, un valore assoluto e un addizione: per ogni blocco N^2 operazioni
 - Numero di operazioni per stimare un MV per un blocco: $(2R + 1)^2 N^2$



Algoritmo di Block-Matching Esaustivo

Complessità computazionale (2)

- Siano $M \times M$ le dimensioni dell'immagine
 - Si avranno $(M/N)^2$ blocchi
- Il numero totale di operazioni sarà quindi:
 - $M^2(2R + 1)^2$
- Questo risultato è interessante... perché?





Algoritmo di Block-Matching Esaustivo

Complessità computazionale (3)

- Carico computazionale: $M^2(2R + 1)^2$
 - E' indipendente dalla dimensione dei blocchi!
- Un esempio:
 - $M = 512, N = 16, R = 16$
 - $512^2(2 \cdot 16 + 1)^2 \cong 2.85 \times 10^8$ operazioni per frame
 - In un video a 30 fps
 - $2.85 \times 10^8 \cdot 30 \cong 8.55 \times 10^9$ operazioni al secondo
- Serve un metodo più veloce!



Algoritmi di Block-Matching

Metodo Three-Step Search (1)

- Modifica all'EBMA:
 - Per trovare il migliore d_m confrontiamo (dopo averli calcolati) i d_m fra l'anchor frame B_m **e un sottoinsieme** dei possibili target frame B_m' all'interno di una regione di ricerca
- Si inizia con un passo di ricerca R_0 uguale (o leggermente maggiore) della metà del raggio di ricerca R
- Ad ogni passo dell'algoritmo si riduce il passo di ricerca della metà, finché non sarà pari a 1



Algoritmi di Block-Matching

Metodo Three-Step Search (3)

- Nota: a dispetto del nome, potrebbero esserci più di 3 passi di ricerca!
- Fissato R_0 si avranno al più $L = \lceil (\log_2 R_0) + 1 \rceil$ passi di ricerca
 - Ricavato L , si avranno $8L + 1$ punti di ricerca
- Confronto con EBMA:
 - Con $R = 32$, $R_0 = 16$
 - EBMA ha $(2 \cdot 32 + 1)^2 = 4225$ punti di ricerca
 - Con three-step search si hanno $8 \cdot \lceil \log_2 16 + 1 \rceil + 1 = 41$ punti di ricerca (~100 volte di meno!)



Stima del Movimento

Algoritmi basati su Features

- Algoritmo “*Features from Accelerated Segment Test (FAST)*”:
 - Individuare dei punti salienti (**corner**) nel frame da usare come features per “tracciare” il movimento
 - Si analizza ad ogni passo un insieme di 16 punti con configurazione a cerchio di raggio 3 per classificare se un punto p sia o meno di corner
 - Data l'intensità l_p del punto p , se per almeno 12 punti contigui con intensità l_x si ottiene che $|l_x - l_p| > t$, con t soglia, allora p sarà considerato corner



Algoritmi basati su Features

Algoritmo FAST

- Si può velocizzare il test di corner detection con l’**“high-speed test”**:
 - Verificare $|l_x - l_p| > t$ per i punti del cerchio in posizione 1 e 9, e successivamente in posizione 5 e 13
 - Se per almeno 2 di questi 4 punti $|l_x - l_p| \leq t$ il test fallisce e il punto p non può essere corner
- FAST è computazionalmente efficiente e più veloce di altri metodi (come SIFT), sebbene meno preciso
 - Questo lo rende adatto per applicazioni real-time!



Perché stimare il movimento?

- L'informazione sul movimento nella scena può tornare utile in vari modi, ad esempio:
 - Quality enhancement del video tramite **stabilizzazione**
 - La stabilizzazione aumenta anche il fattore di **compressione** del video
 - Ricostruzione della scena 3D a partire dalla proiezione 2D
 - ...